

(3-1)

$$\begin{array}{c} |\Delta_1\rangle \\ \downarrow \\ w-z \\ \leftarrow \Delta_2 \\ \downarrow \Delta_3 \\ z \leftarrow \Delta_4 \\ \Delta_5 \end{array} := \Phi_{\Delta_5 \Delta_4}^{\Delta_3} (\Phi_{\Delta_3 \Delta_1}^{\Delta_2} (w-z) |\Delta_1\rangle, z)$$

↑で  $\Delta_1$  と  $\Delta_2$  の立場を交換したもののも)

$$\begin{array}{c} |\Delta_1\rangle \\ \downarrow \\ \Delta_2 \rightarrow z-w \\ \downarrow \Delta_3 \\ z \leftarrow \Delta_4 \\ \Delta_5 \end{array} := \Phi_{\Delta_5 \Delta_4}^{\Delta_3} (\Phi_{\Delta_3 \Delta_1}^{\Delta_2} (z-w) |\Delta_1\rangle, z)$$

日付

$$\theta_\infty - \frac{\theta_1 + \frac{1}{2}}{\theta_0 + \frac{\varepsilon}{2}} \theta_0, \quad \theta_\infty - \frac{\frac{1}{2} + \frac{\varepsilon}{2}}{\theta_1 + \frac{\varepsilon}{2}} 1-x \theta_0, \quad \theta_\infty - \frac{x + \frac{1}{2}}{\theta_0 + \frac{\varepsilon}{2}} \theta_0$$

が、直に Riemann スキームが

$$\begin{pmatrix} 0 & 1 & \infty \\ \theta_0 & \theta_1 & -\theta_\infty + \frac{1}{2} \\ -\theta_0 & -\theta_1 & \theta_\infty + \frac{1}{2} \end{pmatrix}$$

であるような確定特異点型 2 階線形 ODE の  $x=0, 1, \infty$  における局所解である。以下、 $c=1$  とする。今日は点をもう一つやる。

$$\Phi_{\theta_3^2, \theta_1^2(z)}^{\theta_2^2} |\theta_1^2\rangle = N(\theta_3, \theta_2, \theta_1) z^{\theta_3^2 - \theta_2^2 - \theta_1^2} (|\theta_3^2\rangle + O(z)),$$

$$N(a, b, c) = \frac{G(1+a+b+c) G(1-a+b+c) G(1+a+b-c) G(1-a+b-c)}{G(1+2a) G(1+2b) G(1+2c)}.$$

[Iorgov-Lisovyy-Teschner 2015]

接続行列を周期的にするためにはこのように正规化していく。ここで、 $G(x)$  は Barnes の G 函数である;  $G(x+1) = P(x)G(x)$ ,  $G(1)=1$  (しか使わない)。Rem. Selberg 積分の Γ 函数表示を G 函数で書き直すと上の  $N$  になる。□

上の normalization の式を記す,

$$\begin{aligned} \theta_\infty \frac{\theta_1}{\theta_0 + \frac{\varepsilon}{2}} \theta_0 &= \sum_{\varepsilon'=\pm 1} \frac{\theta_1}{\theta_\infty + \frac{\varepsilon'}{2}} \theta_0 F_{\varepsilon'\varepsilon} \left[ \begin{matrix} \frac{1}{2} & \theta_1 \\ \theta_\infty & \theta_0 \end{matrix} \right], \\ &= \sum_{\varepsilon'=\pm 1} \frac{\theta_1}{\theta_\infty + \frac{\varepsilon'}{2}} \theta_0 B_{\varepsilon'\varepsilon} \left[ \begin{matrix} \frac{1}{2} & \theta_1 \\ \theta_\infty & \theta_0 \end{matrix} \right], \end{aligned}$$

ここで、

$$F \left[ \begin{matrix} \frac{1}{2} & \theta_1 \\ \theta_\infty & \theta_0 \end{matrix} \right] = \frac{1}{\pi \sin 2\pi \theta_0} \begin{bmatrix} \cos \pi(\theta_\infty + \theta_1 - \theta_0) \cos \pi(-\theta_\infty + \theta_1 - \theta_0) & \cos \pi(\theta_\infty + \theta_1 + \theta_0) \cos \pi(-\theta_\infty + \theta_1 + \theta_0) \\ -\pi^2 & \end{bmatrix},$$

$$B \left[ \begin{matrix} \frac{1}{2} & \theta_1 \\ \theta_\infty & \theta_0 \end{matrix} \right] = \frac{-i}{\sin 2\pi \theta_0} \begin{bmatrix} -e^{\pi i(\theta_\infty - \theta_0)} \cos \pi(\theta_\infty - \theta_1 + \theta_0) & e^{\pi i(-\theta_\infty - \theta_0)} \cos \pi(\theta_\infty - \theta_1 - \theta_0) \\ -e^{\pi i(\theta_\infty + \theta_0)} \cos \pi(\theta_\infty + \theta_1 - \theta_0) & e^{\pi i(-\theta_\infty + \theta_0)} \cos \pi(\theta_\infty + \theta_1 + \theta_0) \end{bmatrix}.$$

**Rem.**  $B \left[ \begin{matrix} \frac{1}{2} & \theta_1 \\ \theta_\infty & \theta_0 \end{matrix} \right]$ ,  $e^{\pi i \theta_1} F \left[ \begin{matrix} \frac{1}{2} & \theta_1 \\ \theta_\infty & \theta_0 \end{matrix} \right]$  は  $\theta_0, \theta_1, \theta_\infty$  について周期 1 を持つ。 $(\theta_i \mapsto \theta_i + 1)$  不変)

**Prop.**  $u \in M_{\theta_0^2}$ ,  $v \in M_{\theta_\infty^2}^*$  に対して、

$$v \leftarrow \frac{\theta_1}{\theta_0 + \frac{\varepsilon}{2}} u = \sum_{\varepsilon'=\pm 1} v \leftarrow \frac{\theta_1}{\theta_\infty + \frac{\varepsilon'}{2}} F_{\varepsilon'\varepsilon} = \sum_{\varepsilon'=\pm 1} v \leftarrow \frac{\theta_1}{\theta_0 + \frac{\varepsilon'}{2}} u B_{\varepsilon'\varepsilon}$$

**Proof** 上の  $F_{\varepsilon'\varepsilon}$ ,  $B_{\varepsilon'\varepsilon}$  は  $u = |\theta_0^2\rangle$ ,  $v = \langle \theta_\infty^2|$  の場合

に出て来た量である。

一般の  $u, v$  について Vertex operator の定義より、

$u = |\theta_0^2\rangle$ ,  $v = \langle \theta_\infty^2|$  の場合に従う。

D

$$\begin{aligned} &\langle \theta_\infty^2 | \left[ L_{-n}, \frac{\partial}{\partial z} \right] u \\ &= -\langle \theta_\infty^2 | \left[ L_{-n}, \frac{\partial}{\partial z} \right] u \\ &= -\left\{ z^{-n} \left( \frac{\partial}{\partial z} + (-n+1)\theta_1^2 \right) + x^{-n} \left( x \frac{\partial}{\partial x} + (-n+1) \frac{1}{z} \right) \right\} u \end{aligned}$$

$\langle \theta_\infty^2 | \frac{\partial}{\partial z} u \rangle$

Th. [Iorgov-Lisovyy-Teschner 2015]  $\varepsilon, \varepsilon' = \pm 1$  について、

$$Y_{\varepsilon\varepsilon'}(x, t) = \sum_{n \in \mathbb{Z}} s^n \frac{\zeta^{\frac{1}{2}}}{\theta_0 - \frac{\varepsilon}{2}} \frac{1}{\theta_0 - \frac{\varepsilon}{2} + \frac{\varepsilon'}{2}} \frac{1}{\sigma + n} \frac{\theta_1}{t} \frac{\theta_\pi}{\theta_0} \quad \leftarrow \text{Fourier級数}$$

が “ $s \in \mathbb{C}$  について収束していると仮定すれば”、これは Riemann 積ではないか？

$$\begin{Bmatrix} 0 & t & 1 & \infty \\ \theta_0 & \theta_\pi & \theta_1 & \theta_0 + \frac{1}{2} \\ -\theta_0 & -\theta_\pi & -\theta_1 & -\theta_0 + \frac{1}{2} \end{Bmatrix}$$

→ 収束性を仮定して解析接続を使う

$s$  と  $\sigma$  が  
正準座標

“あるような次の線形ODEのモードロジー不变な基本解” になっている。

$$\frac{dy}{dx} = \left[ \frac{A_0}{x} + \frac{A_1}{x-1} + \frac{A_t}{x-t} \right] y.$$

ここで、

$A_i$ :  $2 \times 2$  行列、  $A_i$  は対角化可能、  $A_i$  の固有値は  $\pm \theta_i$  ( $\theta_i \notin \mathbb{Z}$ )。  $\square$

Rem.

$$Y_{\varepsilon\varepsilon'}(x, t) = \sum_{n \in \mathbb{Z}} s^n \frac{\zeta^{\frac{1}{2}}}{\theta_0 - \frac{\varepsilon}{2}} \frac{1}{\theta_0 - \frac{\varepsilon}{2} + \frac{\varepsilon'}{2}} \frac{1}{\sigma + n} \frac{\theta_1}{t} \frac{\theta_\pi}{\theta_0} \quad \leftarrow \text{Fourier級数}$$

この次の部分が “ $T$ ” である：

$$T_{\varepsilon\varepsilon'}(t) = \sum_{n \in \mathbb{Z}} s^n \frac{\theta_1}{\theta_0 - \frac{\varepsilon}{2} + \frac{\varepsilon'}{2}} \frac{\theta_\pi}{\sigma + n} \quad \leftarrow \text{Fourier級数} \quad \square$$

[Bershtein - Schcikin 2015]

$\text{Vir} \oplus \text{Vir} \subset NSR \leftarrow \text{super Vir, NS sector } (N=1 \text{ super-Vir.})$

$$\sum_{m,n \in \mathbb{Z}} \Phi_m \otimes \Phi_n = \Phi \leftarrow \text{vertex operator}$$

(ハーラスターの  
アーベル多項式)

これを使って  $\tau_{\text{Vir}}(t)$  が 1 本の bilinear eq. を満たすこと正在している。

(しかし, bilinear eq. が 1 本だけでは  $\tau$  函数は決まらない。)

これを使うと bilinear eq. は自明に得出。

しかし,  $\tau_{\text{Vir}}(t)$  に立っていふことはめんどくさう。

本当は左辺には  $\sum_{m,n} l_{m,n} \Phi_m \otimes \Phi_n$  と係数が入る。 $l_{m,n}$  が Barnes の  $G$  を書けることをしっかりしていざ。

超幾何の接続問題を使う,

[Gavrylenko - Iorgov - Lisovyy arXiv: 1810.9608]

$W_N$ -algebra with  $C=N-1$  を用いて,  $W_N$  conformal blocks  $\tau$  " Fuji-Suzuki-Tsuda の

$\tau$  函数を構成。  $A_i: N \times N$ ,  $A_0, A_\infty \sim (1^N)$ ,  $A_1, A_\pm \sim (N-1, 1)$

固有値はアベレギングス 固有値は 1 個しかない。

## Th. の証明の概要

### $x = \infty$ の 特性指數

$$x^{(\theta_{\infty} - \frac{\varepsilon}{2})^2 - \frac{1}{4}} - (\theta_{\infty} - \frac{\varepsilon}{2} + \frac{\varepsilon'}{2})^2 = x^{-\varepsilon' \theta_{\infty} - \frac{1}{2}} \quad \text{OK}$$

足し上げたものに接続行列を使うと

$$\sum_{n \in \mathbb{Z}} s^n \begin{array}{c} \left. \begin{array}{c} \theta_1 \\ \theta_k \end{array} \right\} \\ \theta_{\infty} - \frac{\varepsilon}{2} \quad \theta_{\infty} - \frac{\varepsilon}{2} + \frac{\varepsilon'}{2} \quad \sigma + n \end{array} \theta_0 = \sum_{n \in \mathbb{Z}} s^n \sum_{\varepsilon' = \pm 1} \theta_{\infty} - \frac{\varepsilon}{2} \begin{array}{c} \left. \begin{array}{c} \theta_1 \\ \theta_k \end{array} \right\} \\ \sigma + n + \frac{\varepsilon'}{2} \quad \sigma + n \end{array} \theta_0 B_{\varepsilon' \varepsilon} \left[ \begin{array}{cc} \theta_1 & \frac{1}{2} \\ \theta_{\infty} - \frac{\varepsilon}{2} & \sigma \end{array} \right]$$

$$= \sum_{\varepsilon' = \pm 1} \left( \sum_{n \in \mathbb{Z}} s^n \begin{array}{c} \left. \begin{array}{c} \theta_1 \\ \theta_k \end{array} \right\} \\ \theta_{\infty} - \frac{\varepsilon}{2} \quad \sigma + n + \frac{\varepsilon'}{2} \quad \sigma + n \end{array} \theta_0 \right) B_{\varepsilon' \varepsilon} \left[ \begin{array}{cc} \theta_1 & \frac{1}{2} \\ \theta_{\infty} - \frac{\varepsilon}{2} & \sigma \end{array} \right]$$

$n \mapsto \sigma + n$  !!!

$$x^{(\sigma + n + \frac{\varepsilon'}{2})^2 - \frac{1}{4}} - (\sigma + n)^2 = x^{\varepsilon'(\sigma + n)} \text{ の モノドロミーは } n \mapsto \sigma + n \text{ である。} \quad \text{OK}$$

さらに

$$\sum_{n \in \mathbb{Z}} s^n \begin{array}{c} \left. \begin{array}{c} \theta_1 \\ \theta_k \end{array} \right\} \\ \theta_{\infty} - \frac{\varepsilon}{2} \quad \sigma + n + \frac{\varepsilon'}{2} \quad \sigma + n \end{array} \theta_0 = \sum_{n \in \mathbb{Z}} s^n \sum_{\varepsilon'' = \pm 1} \theta_{\infty} - \frac{\varepsilon}{2} \begin{array}{c} \left. \begin{array}{c} \theta_1 \\ \theta_k \end{array} \right\} \\ \sigma + n + \frac{\varepsilon'}{2} \quad \theta_k + \frac{\varepsilon''}{2} \end{array} \theta_0 F_{\varepsilon'' \varepsilon'} \left[ \begin{array}{cc} \frac{1}{2} & \theta_k \\ \sigma + n + \frac{\varepsilon'}{2} & \theta_0 \end{array} \right]$$

$n \mapsto \sigma + n$  !!!

$$= \begin{cases} \varepsilon' = 1 \text{ のとき} & \sum_{\varepsilon'' = \pm 1} \left( \sum_{n \in \mathbb{Z}} s^n \begin{array}{c} \left. \begin{array}{c} \theta_1 \\ \theta_k \end{array} \right\} \\ \theta_{\infty} - \frac{\varepsilon}{2} \quad \sigma + n - \frac{1}{2} \end{array} \theta_k \right) F_{\varepsilon'', 1} \left[ \begin{array}{cc} \frac{1}{2} & \theta_k \\ \sigma - \frac{1}{2} & \theta_0 \end{array} \right] s^{-1} \\ \varepsilon' = -1 \text{ のとき} & \sum_{\varepsilon'' = \pm 1} \left( \sum_{n \in \mathbb{Z}} s^n \begin{array}{c} \left. \begin{array}{c} \theta_1 \\ \theta_k \end{array} \right\} \\ \theta_{\infty} - \frac{\varepsilon}{2} \quad \sigma + n - \frac{1}{2} \end{array} \theta_k \right) F_{\varepsilon'', -1} \left[ \begin{array}{cc} \frac{1}{2} & \theta_k \\ \sigma - \frac{1}{2} & \theta_0 \end{array} \right] \end{cases}$$

←  $n \in \mathbb{N}$  とすると  $s^{-1}$  だ。  
Y の接続行列に  $s$  が出て来る。

$$\text{特性指數 } (t - x)^{\varepsilon'' \theta_k} \quad \text{OK}$$

$x \mapsto \infty$

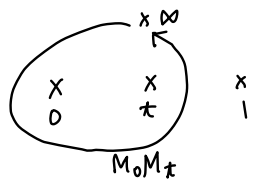
こんな感じで、和を取った結果の解析接続が(和を取った結果)  $\times$  (接続行列)の形になることをすべて確認できる。このことより、Y が x について線形常微分方程式を満たすことがわかる。

□

**Report**  $\text{tr}(M_0 M_k) = 2 \cos 2\pi \sigma$  を確かめよ。(t によらず)

ここで  $M_k$  は Y のモノドロミー行列である。ただし、 $M_0 M_k$  は次の図の通りである

水平面



Y(x, t) のモノドロミー行列。

□

[Jimbo-Miwa-Ueno 1981] [JMU 1981] より、 $\tau$  凸数は基本解から次のように定まる。

基本解  $Y(x, t)$  を  $x=t$  で次のように normalize しておく：

$$Y(x, t) = \left( I + Y_1(x-t) + O((x-t)^2) \right) \times (x-t)^T, \quad T := \begin{bmatrix} \theta_t & 0 \\ 0 & -\theta_t \end{bmatrix} - \frac{1}{2} I.$$

Riemann 積分は

$$\begin{Bmatrix} 0 & t & 1 & \infty \\ \theta_0 & \theta_t - \frac{1}{2} & \theta_1 & \theta_\infty + 1 \\ -\theta_0 & -\theta_t - \frac{1}{2} & -\theta_1 & -\theta_\infty + 1 \end{Bmatrix}$$

であるとすと、このとき、 $\tau = \tau(\theta_0, \theta_1, \theta_t, \theta_\infty; t)$  で次を満たすものとされる：

$$\frac{\partial}{\partial t} \log \tau = \text{tr}(T Y_1).$$

この  $\tau$  を  $\tau$  凸数と呼ぶ（定義）。

(Rem.) bilinear eq. を出するには墨なる点の展開と比較アラ。  $A_i$  は共通。  $\square$ )

上で使った  $x=t$  で正規化された解を conformal blocks で表すと、次のようになる：

$$Y_{\varepsilon\varepsilon'}(x, t) := \frac{1}{\tilde{\tau}} \sum_{n \in \mathbb{Z}} s^n \frac{\theta_1}{\theta_\infty} \frac{\theta_t - \frac{\varepsilon}{2}}{\sigma + n} \frac{\theta_t - \frac{\varepsilon}{2} + \frac{\varepsilon'}{2}}{\theta_0},$$

$$\tilde{\tau} := \sum_{n \in \mathbb{Z}} s^n \frac{\theta_1}{\theta_\infty} \frac{\theta_t}{\sigma + n} \frac{1}{\theta_0} \quad \leftarrow \text{実はこれが } \tau \text{ に等しい}.$$

$T = \begin{bmatrix} \theta_t & 0 \\ 0 & -\theta_t \end{bmatrix} - \frac{1}{2} I$  の  $\tau$  で、この  $Y$  に関する  $Y_1$  の対角成分を求めれば  $\tau$  についてもわかる。

$Y_1$  の対角成分は次のように計算される。 $(x-t)$  に關する 1 次の係数  $\times \tilde{\tau}$  は

$$\sum_{n \in \mathbb{Z}} s^n \langle \theta_\infty^2 | \Phi_{\theta_\infty^2, (\sigma+n)^2}^{(1)} \Phi_{(\sigma+n)^2, \theta_0^2}^{(1)} (c_1 L_{-1} |\theta_t^2\rangle, t) | \theta_0^2 \rangle, \quad c_1 = \frac{\theta_t^2 + \frac{1}{4} - (\theta_t - \frac{\varepsilon}{2})^2}{2\theta_t^2} = \frac{\varepsilon}{2} \frac{1}{\theta_t}.$$

$$\text{左の } \tilde{\tau}, \quad Y_1 = \begin{bmatrix} \frac{1}{2} \frac{\tilde{\tau}_t}{\theta_t} & * \\ * & \frac{-1}{2} \frac{\tilde{\tau}_t}{\theta_t} \end{bmatrix} \frac{1}{\tilde{\tau}}.$$

$$\therefore \text{tr}(T Y_1) = \frac{\tilde{\tau}_t}{\tilde{\tau}} \left( \frac{\theta_t - \frac{1}{2}}{2\theta_t} - \frac{-\theta_t - \frac{1}{2}}{2\theta_t} \right) = \frac{\partial}{\partial t} \log \tilde{\tau}.$$

つまり、 $\tau = \tilde{\tau}$  とされる!!!

**Rem.**  $T = T(\theta_0, \theta_1, \theta_t, \theta_M; t)$  は 変形された線形 ODE を決めるパラメータ  $\theta_0, \theta_1, \theta_t, \theta_M$  だけではなく、パラメーター  $(\sigma, s)$  を含む。 $P_{VI}$  方程式は非線形な 2 階の ODE である、角單にはパラメーターが 2 つある、それが  $\sigma$  と  $s$  である。  $\square$

**Rem.** Barnes の G を使った normalization の部分でパラメーターを 2 つにして特徴化すると有限和になつて超幾何が出来来る。  $\square$

**明日** この  $q$ -version を明日やる。接続行列が “n” にどうなつて行くか本質的。  $\square$

以上は  $P_{VI}$  の場合他の  $P_V, \dots$   $\leftarrow \Lambda = (\Lambda_r, \dots, \Lambda_{2r}) \in \mathbb{C}^{r+1}$

Irregular Verma module  $M_\Lambda^{[r]}$  of (Poincaré) rank  $r \in \mathbb{Z}_{\geq 0}$  は、Vir の表現で  $0 \neq |\Lambda\rangle \in M_\Lambda^{[r]}$  で  $L_n|\Lambda\rangle = \Lambda_n|\Lambda\rangle$  ( $n=r, r+1, \dots, 2r$ ),  $L_n|\Lambda\rangle = 0$  ( $n > 2r$ ) を満たすものから生成され、 $L_{-\lambda_1+r} \cdots L_{-\lambda_k+r}|\Lambda\rangle$  ( $\lambda_1 \geq \cdots \geq \lambda_k > 0$ ) を基底とするものとしてあると定める。

**Def.** vertex operator  $\Phi_{\Lambda' \Lambda}^\Delta(z) : M_\Lambda^{[r]} \rightarrow M_{\Lambda'}^{[r]}$  を次で定める:

$$\textcircled{1} \quad [L_n, \Phi_{\Lambda' \Lambda}^\Delta(z)] = z^n \left( z \frac{\partial}{\partial z} + (h+1)\Delta \right) \Phi_{\Lambda' \Lambda}^\Delta(z)$$

$$\textcircled{2} \quad \Phi_{\Lambda' \Lambda}^\Delta(z)|\Lambda\rangle = z^\alpha e^{\sum_{i=1}^r \beta_i z^{-\lambda_i}} \sum_{n=0}^{\infty} v_n z^n, \quad v_0 = |\Lambda'\rangle, \quad v_n \in M_{\Lambda'}^{[r]}. \quad \square$$

**Th1** ([Nagoya 2015])  $\Lambda_{2r} \neq 0$  であるとき、 $\Phi_{\Lambda' \Lambda}^\Delta(z)$  は一意的に存在する。さらに

$$\Lambda'_n = \Lambda_n - \delta_{nr} \beta_r \quad (n=r, r+1, \dots, 2r), \quad \Delta, \beta_1, \dots, \beta_{r-1} \text{ は } \Delta, \beta_r, \Lambda_r, \dots, \Lambda_{2r} \text{ の多項式},$$

$$v_n = \sum_{|\lambda| \leq n} c_\lambda^{(n)} L_{-\lambda} |\Lambda'\rangle, \quad L_{-\lambda} = L_{-\lambda_1+r} \cdots L_{-\lambda_k+r}, \quad \lambda = (\lambda_1, \dots, \lambda_k),$$

$$c_\lambda^{(n)} \text{ は } \Delta, \beta_r, \Lambda_r, \dots, \Lambda_{2r}, C \text{ の多項式}.$$

$\square$

Th. [Lisovyy-Nagoya-Roussillon]

$P_V$  の解を決める方程式  $\alpha - \beta - \gamma$   
( $s, \beta$ )

$$T_V(t) = \sum_{n \in \mathbb{Z}} (-1)^{n(n+1)} s^n \times \prod_{\varepsilon=\pm 1} G(1+\varepsilon\theta_0 + \theta - \beta - n) G(1+\theta_t + \varepsilon(\beta+n))$$

$t = i\infty$  の展開

$$\times \left\langle \theta_0^2 \right| \cdot \left( \Phi_{(\theta-\beta-n, \frac{1}{4}), (\theta, \frac{1}{4})}^{(\theta_t)} \left| \theta, \frac{1}{4} \right\rangle \right)$$

$M_{\theta_0^2}^*$

確定特異点

Poincaré rank 1  
不確定特異点

且  $P_V$  の T 函数を書けよ H は

$$H = \frac{\partial}{\partial t} \log \left( t^{-2\theta_t^2 - \frac{\theta^2}{2}} e^{-\frac{\theta}{2}t} T_V(t) \right)$$

$$\begin{cases} P_V \text{ は } \frac{dY}{dx} = \left( \frac{A_0}{x} + \frac{A_1}{x-1} + B \right) Y \text{ の} \\ \text{モノトロニ-保存変形} \end{cases}$$

且 H は次式で表す:

$$(tH'')^2 - (H - tH' + 2(H')^2)^2 + \frac{1}{4}((2H' - \theta)^2 - 4\theta_0^2)((2H' + \theta)^2 - 4\theta_t^2) = 0.$$

質問

元はどういうふうに出て来るか?

回答

$$\begin{aligned} & \left\langle \theta_\infty^2 \mid \bar{\Phi}_{\theta_\infty^2, \theta_t^2}^{\theta_t^2} (1) \bar{\Phi}_{\theta_t^2, \theta_0^2}^{\theta_0^2} \left( N(0) (x-t)^{\theta_t^2} \left( \underline{\underline{1}}_{\theta_t^2} + C_1 L_{-1} \underline{1}_{\theta_t^2} (x-t) + \bar{C}_1 \bar{L}_{-1} \bar{1}_{\theta_t^2} (x-t) + \bar{C}_2 \bar{1}_{\theta_t^2} (x-t)^2 \right), + \right) \mid \theta_0^2 \right\rangle \\ &= N(0) (x-t)^{\theta_t^2} \sum_{n=0}^{1\infty} \left\langle \theta_\infty^2 \mid \bar{\Phi}(1) \bar{\Phi}_{\theta_t^2, \theta_0^2}^{\theta_0^2} (U_n, \tau) \mid \theta_0^2 \right\rangle (x-t)^n \\ & \quad \bar{\Phi}_{\theta_t^2, \theta_0^2}^{\theta_0^2} (1_{\theta_t^2}, +) = \bar{\Phi}_{\theta_t^2, \theta_0^2}^{\theta_0^2} (+) \end{aligned}$$